

## بهسازی خاک آلوده به ماده آلی گلیسرول با منیزیم‌اکسید

فاطمه جاننداری\*، علی رئیسی استبرق، جمال عبدالهی علی‌بیک، محدثه امینی، آرمین انصار شوربیجه

دانشگاه تهران، گروه آبیاری و آبادانی

تاریخ دریافت: ۱۳۹۹/۱۲/۱۹

تاریخ پذیرش: ۱۴۰۰/۰۲/۱۵

### چکیده

در این کار پژوهشی امکان بهسازی خاک رسی آلوده به محلول گلیسرول با استفاده از MgO مورد بررسی قرار گرفت. برای آلوده کردن خاک از محلول ۵۰٪ گلیسرول که در درصدهای وزنی ۴، ۸ و ۱۲٪ به خاک اضافه شده بود، استفاده گردید. آزمایش‌های حدود اتربرگ، تراکم، مقاومت تک‌محوری و عکس‌برداری SEM روی نمونه‌های خاک طبیعی، آلوده و بهسازی شده با MgO در درصدهای وزنی ۵، ۸ و ۱۲٪ صورت پذیرفت. نتایج نشان داد که افزودن محلول گلیسرول به خاک سبب کاهش حدود اتربرگ، درصد رطوبت بهینه و مقاومت تک‌محوری و افزایش وزن واحد حجم خشک بیشینه در مقایسه با خاک طبیعی می‌شود. تغییرات این پارامترها تابعی از درصد آلاینده بوده به‌گونه‌ای که هر چه درصد آلاینده بیشتر باشد، تغییرات بیان شده بیشتر می‌شود. با اضافه کردن MgO به خاک طبیعی و آلوده، افزایش مقادیر حدود اتربرگ و مقاومت تک‌محوری نمونه‌ها مشاهده شد که این افزایش در نمونه‌های مقاوم‌تری تابعی از درصد MgO و زمان عمل‌آوری می‌باشد. همچنین نتایج عکس‌برداری SEM نشان‌دهنده تغییر ساختار خاک و فولکوله‌تر شدن ذرات آن در مقایسه با خاک طبیعی با اضافه کردن محلول گلیسرول به خاک می‌باشد.

واژگان کلیدی: خاک رسی، گلیسرول، منیزیم‌اکسید.

### مقدمه

خاک‌های رسی عمدتاً با مشخصه‌های مقاومت کم، تغییرپذیری حجم و تراکم‌پذیری زیاد و همچنین نفوذپذیری کم شناخته می‌شوند. بنابراین بهسازی این خاک‌ها به‌منظور کاربرد در اجرای پروژه‌های عمرانی مختلف و یا احداث پروژه‌ای بر روی آنها ضروری به نظر می‌رسد. این خاک‌ها ممکن است به‌وسیله مواد آلاینده نفتی به‌دلیل مواردی مانند نشت از مخازن مواد نفتی احداث شده و یا حوادث غیرمترقبه در انتقال آنها و نیز رها شدن فاضلاب کارخانه‌های شیمیایی یا پالایشگاهی، آلوده شوند. خواص اولیه مکانیکی و فیزیکی آنها نیز بر اثر این امر دچار تغییراتی می‌گردد که میزان آن بستگی به نوع خاک

\* نویسنده مسئول: fateme.jandari@gmail.com

و مواد آلاینده اثرکننده دارد. فانگ<sup>۱</sup> [۱] شاخصی تحت عنوان درجه حساسیت معرفی نمود که مقدار آن برای خاک‌های مختلف بین ۰-۱ می‌باشد. هرچه درجه حساسیت بیشتر باشد، عمل متقابل شیمیایی خاک و آلاینده بیشتر بوده و خواص آن تحت تاثیر آلاینده بیشتر تغییر می‌کند و بالعکس.

محققان روش‌های مختلفی برای بهسازی این خاک‌ها ارائه نموده‌اند که برحسب نوع خاک و شرایط آن متفاوت می‌باشند. یکی از روش‌های متداول بهسازی خاک‌های رسی، روش شیمیایی می‌باشد. در روش شیمیایی معمولاً یک درصد وزنی مشخص از مواد افزودنی مانند آهک و سیمان به خاک رسی اضافه می‌کنند. واکنش‌های شیمیایی که معمولاً شامل تبادل یونی و پوزولانی است، بین ذرات خاک و مواد افزودنی صورت می‌پذیرد که موجب کاهش خواص رسی خاک و بهبود و ارتقاء خواص فیزیکی و مکانیکی آنها می‌گردد. استفاده از آهک با محدودیت‌هایی همراه است، لیکن سیمان کاربرد گسترده‌ای نسبت به آهک دارد. محققین مختلفی از جمله سزر<sup>۲</sup> و همکاران [۲] گزارش کردند که سیمان در طیف وسیعی از خاک‌های رسی به‌منظور بهسازی می‌تواند مورد استفاده قرار گیرد. اگرچه در سال‌های اخیر سیمان کاربرد وسیعی پیدا نموده، لیکن تولید سیمان مستلزم صرف انرژی زیادی می‌باشد زیرا دمای پخت کلینکر حدود ۱۴۵۰ درجه سانتی‌گراد است. از طرف دیگر در حین تولید سیمان مقدار زیادی CO<sub>2</sub> وارد محیط می‌شود که این امر مشکلات زیست‌محیطی ایجاد می‌نماید. برای رفع این مشکلات، پژوهشگرانی از جمله آنلور و التبا<sup>۳</sup> [۳] و هریسون<sup>۴</sup> [۴] MgO را به‌عنوان جایگزین سیمان معرفی نمودند. آنها بیان داشتند که تولید MgO جهت بهسازی خاک در حرارت حدود ۵۰۰ درجه سانتی‌گراد صورت می‌پذیرد. بنابراین در تولید آن، انرژی کمتری نسبت به سیمان مورد نیاز است. همچنین CO<sub>2</sub> کمتری از تولید آن وارد محیط‌زیست می‌شود. از طرف دیگر حین فرآیند هیدراسیون آن، مقداری از CO<sub>2</sub> محیط اطراف جذب می‌گردد. اخیراً محققینی مانند لیسکا<sup>۵</sup> و همکاران [۵] و وندپر<sup>۶</sup> و همکاران [۶] دریافته‌اند که می‌توان MgO را با مواد افزودنی دیگر مخلوط و سپس از آن به‌عنوان مواد افزودنی استفاده نمود که در بهسازی بسیار موثر می‌باشد.

شناسایی خواص و روش بهسازی خاک‌های آلوده رسی مدت زمان زیادی است که مورد توجه محققین قرار گرفته است. میگوذا و راتناویرا<sup>۷</sup> [۷] تحقیقات گسترده‌ای بر روی خواص فیزیکی و مکانیکی آنها انجام داده‌اند. آنها گزارش نمودند که

<sup>1</sup> Fang

<sup>2</sup> Sezer

<sup>3</sup> Unluer and Al-Tabbaa

<sup>4</sup> Harrison

<sup>5</sup> Liska

<sup>6</sup> Vandepierre

<sup>7</sup> Meegoda and Ratnaweera

تغییر در خواص فیزیکی و مکانیکی خاک‌های مذکور تابعی از نوع آلاینده و نوع خاک می‌باشد. اخیراً محققینی مانند پوپالا<sup>۸</sup> و همکاران [۸]، چو<sup>۹</sup> و همکاران [۹] و نیز استبرق و همکاران [۱۰] بهسازی این خاک‌ها را برای استفاده و کاربرد در مراحل اجرا و ساخت پروژه‌های عمرانی انجام داده‌اند و نتیجه‌گیری کرده‌اند که افزودنی‌هایی مانند سیمان در این خصوص بسیار مؤثر می‌باشد. بررسی منابع موجود نشان می‌دهد که گرچه پژوهش‌های گسترده‌ای در خصوص بهسازی خاک‌های رسی با MgO صورت پذیرفته است، لیکن در خصوص بهسازی خاک‌های آلوده به مواد هیدروکربنی نفتی گزارشی ارائه نشده است. بنابراین هدف از این پژوهش، بهسازی یک خاک رسی آلوده به گلیسرول با MgO می‌باشد و نتایج آن با نتایج بهسازی خاک غیرآلوده مقایسه و ارزیابی می‌گردد.

### مواد و روش‌ها

مواد مورد استفاده در این پژوهش خاک، گلیسرول، منیزیم‌اکسید و آب می‌باشد که در ادامه به بیان ویژگی‌های آنها پرداخته می‌شود.

#### خاک

در این پژوهش برای آن‌که بیشترین واکنش بین ماده آلی گلیسرول و خاک رخ دهد و همچنین با توجه به نظریه فانگ تصمیم گرفته شد یک خاک رسی با چسبندگی یا پلاستیسیته بالا مورد استفاده قرار بگیرد. ویژگی‌های فیزیکی و مکانیکی خاک مورد استفاده بر اساس استاندارد ASTM تعیین گردید که نتایج آنها در جدول (۱) آورده شده است. نتایج آزمایش دانه‌بندی این خاک بر اساس استاندارد ASTM-D422-07 نشان داد که این خاک متشکل از ۳٪ ماسه، ۶۸٪ سیلت و ۲۹٪ رس می‌باشد. همچنین حد روانی، حد خمیری و شاخص خمیری آن بر اساس ASTM-D4318-10 به ترتیب برابر ۷۳٪، ۲۶٪ و ۴۷٪ اندازه‌گیری شده است. بر اساس نتایج حاصل از دانه‌بندی و حدود اتربرگ خاک مذکور در سامانه طبقه‌بندی متحد (USCS) طبقه‌بندی گردید و مشخص شد که خاک از نوع رسی با پلاستیسیته بالا (CH) می‌باشد. نتایج آزمایش تراکم استاندارد مطابق با استاندارد ASTM-D698-12 نیز نشان داد که رطوبت بهینه و وزن واحد حجم خشک بیشینه خاک به ترتیب برابر ۲۳٪ و  $14/12 \text{ (kN/m}^3\text{)}$  می‌باشد. ویژگی‌های شیمیایی خاک نیز تعیین و نتایج آن در جدول (۲) نشان داده شده است. همان طور که مشاهده می‌گردد این خاک دارای pH و EC معادل ۸/۵۴ و ۵/۵۵ (ds/m) می‌باشد.

<sup>8</sup> Puppala

<sup>9</sup> Chew

جدول ۱- ویژگی‌های فیزیکی و مکانیکی خاک مورد استفاده

مقادیر	مشخصات
۲/۷۵	وزن مخصوص ذرات جامد ( $G_s$ )
۲۹ (%)	رس
۶۸ (%)	سیلت
۳ (%)	ماسه
۷۳ (%)	حد روانی (LL)
۲۶ (%)	حد خمیری (PL)
۴۷	شاخص خمیری (PI)
CH	سامانه طبقه‌بندی متحد
۲۳ (%)	رطوبت بهینه
۱۴/۱۲ (kN/m <sup>3</sup> )	وزن واحد حجم خشک بیشینه

جدول ۲- ویژگی‌های شیمیایی خاک مورد استفاده

مقادیر	مشخصات
۸/۵۴	pH
۵/۵۵ (dS/m)	EC
۷/۴۵ (meq/l)	SO <sub>4</sub> <sup>2-</sup>
۲۷/۵ (meq/l)	Cl <sup>-</sup>
۱۸/۷۵ (meq/l)	HCO <sub>3</sub> <sup>-</sup>
۴۵/۷۴ (meq/l)	Na <sup>+</sup>
۳/۸۵ (meq/l)	Ca <sup>+</sup>
۰/۹۵ (meq/l)	Mg <sup>2+</sup>

## گلیسرول

در این کار پژوهشی، از گلیسرول به‌عنوان ماده آلاینده استفاده گردید. مطابق اطلاعات شرکت تولیدکننده، فرمول شیمیایی آن  $C_3H_5(OH)_3$ ، لزوجت مطلق (Pa.s) ۱/۴ و چگالی آن نیز معادل  $1/26 \text{ (g/cm}^3\text{)}$  می‌باشد. در این کار تحقیقاتی از محلول ۵۰٪ گلیسرول برای آلوده نمودن خاک با درصدهای وزنی ۴، ۸ و ۱۲٪ استفاده شده است.

## منیزیم اکسید

منیزیم اکسید مورد استفاده از نوع تجاری می‌باشد و بر اساس گزارش استبرق و همکاران [۱۱] شامل ۹۴/۲٪ منیزیم اکسید، ۱/۷٪ کلسیم اکسید، ۰/۸۵٪ سیلیسیم اکسید و ۰/۶٪ آلومینیوم اکسید می‌باشد. وزن مولکولی و وزن مخصوص آن به ترتیب معادل  $40/304$  (g/mol) و  $3/55$  می‌باشد. میانگین اندازه ذرات و سطح ویژه آن معادل  $60$  ( $\mu\text{m}$ ) و  $250-300$  ( $\text{m}^2/\text{g}$ ) می‌باشد.

## آب

در این پژوهش از آب شرب با اسیدیته  $7/76$  (pH) و هدایت الکتریکی  $0/01$  (dS/m) (EC) برای انجام آزمایش‌ها و تهیه نمونه‌ها استفاده گردید.

## تهیه خاک آلوده و نمونه‌های مقاومتی

در تهیه خاک آلوده به محلول گلیسرول، مقدار وزنی ۴، ۸ و ۱۲٪ از محلول ۵۰٪ گلیسرول با توجه به وزن خاک خشک شده در هوا، انتخاب و بر روی لایه‌های خاک به صورت اسپری اضافه گردید و عمل اختلاط با دست صورت گرفت. سپس مخلوط حاصل در یک کیسه نایلونی، حداقل به مدت یک هفته نگهداری شد تا واکنش بین گلیسرول و خاک به حالت تعادل برسد. برای تهیه خاک اختلاط یافته با MgO، مقدار وزنی MgO به عنوان ماده افزودنی در این کار معادل ۵، ۸ و ۱۲٪ محاسبه گردید. پس از انتخاب مقدار خاک معمولی یا آلوده در درصد‌های مذکور، MgO با خاک طبیعی و یا آلوده مخلوط گردید. سپس آزمایش تراکم استاندارد روی نمونه‌هایی از خاک اختلاط یافته با درصد‌های مختلف MgO انجام و وزن واحد حجم خشک بیشینه و درصد رطوبت بهینه برای هر نمونه تعیین شد. برای تهیه نمونه‌های مورد نظر روش تراکم استاتیکی مورد استفاده قرار گرفت. برای انجام تراکم استاتیکی از قالب ویژه به قطر ۵۰ میلی‌متر و ارتفاع ۱۰۰ میلی‌متر و یک دستگاه بارگذاری استفاده شد. برای تهیه نمونه‌های مختلف از خاک طبیعی، خاک آلوده به گلیسرول، مخلوط خاک طبیعی و MgO و مخلوط خاک آلوده و MgO، مقدار لازم از هر یک از آنها انتخاب و وزن گردید. سپس رطوبت آنها به مقدار رطوبت بهینه منحنی تراکمی مربوطه با اضافه نمودن رطوبت رسانده شد. سپس نمونه خاک را در سه لایه در قالب مربوطه ریخته و به وسیله دستگاه بارگذاری با سرعت  $1/5$  (mm/min) به آن نیرو وارد شد. مقدار بار وارده به هر لایه از روش سعی و خطا برای هر کدام از مخلوط‌های فوق تعیین گردید. به طوری که تحت تاثیر آن بار وارده، وزن واحد حجم خشک آن لایه معادل وزن واحد حجم خشک بیشینه حاصل از منحنی تراکمی مربوطه باشد. نمونه‌های تهیه شده با قطر و ارتفاع ۵۰ و ۱۰۰ میلی‌متر مطابق با استاندارد ASTM-D1632-07 در اتاقک مخصوص در شرایط رطوبت نسبی بالای ۹۰٪ و دمای ۲۵ درجه سانتی‌گراد نگهداری و در زمان‌های عمل‌آوری ۷، ۱۴ و ۲۸ روز آزمایش لازم بر روی آنها صورت پذیرفت. در شکل (۱)، اجزای قالب استفاده شده برای ساخت نمونه‌ها، اتاقک نگهداری نمونه‌ها و دستگاه بارگذاری تک‌محوری برای ساخت و تعیین مقاومت نمونه‌ها نشان داده شده است.



شکل ۱- الف) اجزای قالب مورد استفاده برای ساخت نمونه‌های آزمایشی، ب) نحوه نگهداری نمونه‌ها در اتاقک مخصوص و ج) دستگاه بارگذاری تک‌محوری مورد استفاده

### روش انجام آزمایش‌ها

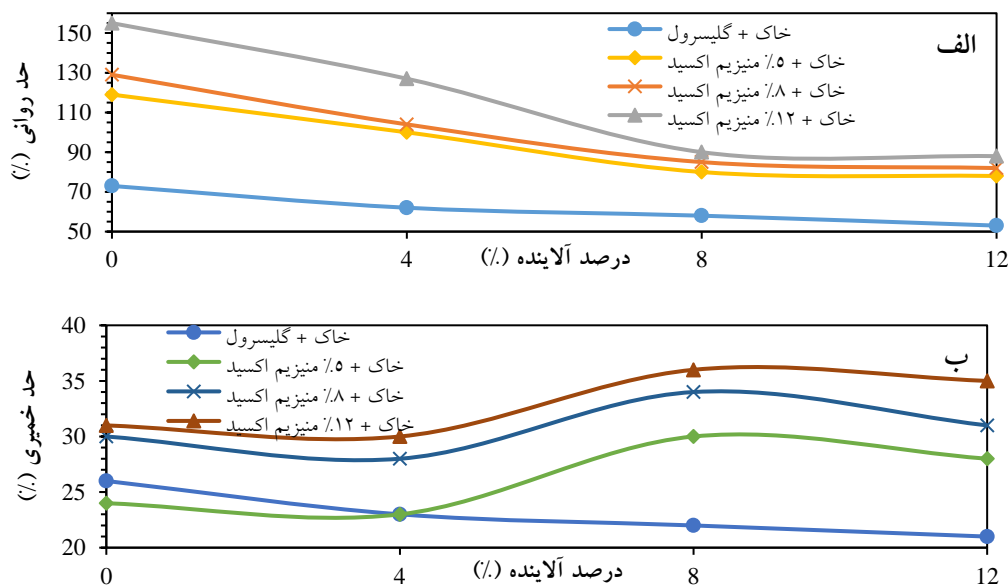
آزمایش‌های مورد نظر در این پژوهش (حدود اتربرگ، تراکم و مقاومت تک‌محوری) بر اساس استاندارد ASTM صورت پذیرفت. در آزمایش مقاومت تک‌محوری، تعیین مقاومت از روش کرنش کنترل‌شونده و بر اساس استاندارد ASTM-D1633-00 صورت پذیرفت. بار اعمال شده به نمونه  $1 \text{ mm/min}$  انتخاب شد که این سرعت بارگذاری به وسیله محققین دیگر مانند کومار<sup>۱۰</sup> و همکاران [۱۲] و نیز استبرق و همکاران [۱۱] به کار رفته است. در طول آزمایش مقدار بار اعمال شده روی نمونه به طور مرتب ثبت و تا زمان مشاهده گسیختگی در نمونه، ادامه داشت. مقاومت در لحظه گسیختگی به عنوان مقاومت نهایی نمونه در نظر گرفته شد. این روش تعیین مقاومت برای همه‌ی نمونه‌هایی که در زمان‌های عمل‌آوری متفاوت قرار داشتند، انجام پذیرفت. همچنین در این پژوهش به منظور بررسی ریزساختار خاک، عکس‌برداری SEM روی نمونه‌هایی از خاک طبیعی، خاک آلوده شده به گلیسرول، مخلوط خاک و MgO و نیز مخلوط خاک آلوده و MgO صورت پذیرفت. نمونه‌های مذکور در شرایط درصد رطوبت بهینه و وزن واحد حجم خشک بیشینه تهیه شدند. قطعه‌ای از این نمونه‌ها از طریق خرد کردن از آنها جدا شد. هر قطعه با قرارگیری بر روی پایه مخصوص با دستگاه لایه‌نشانی طلا به روش کندوپاش، پوشانده شد و با استفاده از میکروسکوپ الکترونی روبشی از آن عکس‌برداری گردید.

### نتایج

شکل (۲) نتایج آزمایش حدود اتربرگ را برای خاک طبیعی و آلوده به محلول گلیسرول در درصدهای مختلف MgO نشان می‌دهد. همان طور که در شکل (۲-الف) مشاهده می‌شود، افزودن محلول گلیسرول در درصدهای ۴، ۸ و ۱۲٪ به خاک سبب کاهش حد روانی می‌شود. همچنین روند کاهشی برای تغییرات حد خمیری در شکل (۲-ب) مشاهده می‌گردد. شکل (۲-الف) نشان می‌دهد که حد روانی خاک از ۷۳٪ (خاک طبیعی) به ۵۳٪ (خاک آلوده به ۱۲٪ محلول گلیسرول) تغییر

<sup>10</sup> Kumar

می‌یابد و حد خمیری آن از ۲۶٪ به ۲۱٪ می‌رسد (شکل (۲-ب)). همچنین نتایج نشان می‌دهد که حدود اتربرگ با افزودن MgO به خاک طبیعی و آلوده به محلول گلیسرول افزایش قابل ملاحظه‌ای در مقایسه با خاک طبیعی پیدا می‌کند. در شکل (۲-الف) مشاهده می‌شود که حد روانی در خاک طبیعی اختلاط یافته با ۵، ۸ و ۱۲٪ MgO به ترتیب برابر ۱۱۹، ۱۲۹ و ۱۵۵٪ می‌باشد و حد خمیری آنها برابر ۲۴، ۳۰ و ۳۱٪ (شکل (۲-ب)) گردیده است. نتایج به دست آمده نشان می‌دهد که با افزایش درصد MgO از ۵ به ۱۲٪، حدود اتربرگ خاک آلوده به‌ازای درصد ثابت محلول گلیسرول روندی افزایشی داشته است. به‌طور مثال در شکل (۲-الف) ملاحظه می‌شود که به‌ازای افزودن ۵، ۸ و ۱۲٪ MgO به خاک آلوده حاوی ۱۲٪ محلول گلیسرول، حد روانی آنها به ترتیب برابر ۷۸، ۸۲ و ۸۸٪ تغییر می‌نماید و حد خمیری آنها برابر ۲۸، ۳۱ و ۳۵٪ می‌گردد (شکل (۲-ب)). از نتایج مندرج در شکل (۲-الف) می‌توان نتیجه‌گیری نمود که حد روانی به‌ازای درصد ثابت MgO و با افزایش درصد محلول گلیسرول روندی کاهشی داشته لیکن شکل (۲-ب) نشان‌دهنده روند افزایشی تغییرات حد خمیری می‌باشد. به‌عنوان مثال حد روانی خاک آلوده حاوی ۴، ۸ و ۱۲٪ محلول گلیسرول اختلاط یافته با ۱۲٪ MgO برابر ۱۲۷، ۹۰ و ۸۸٪ (شکل (۲-الف)) و حد خمیری آنها برابر ۳۰، ۳۶ و ۳۵٪ می‌باشد (شکل (۲-ب)).

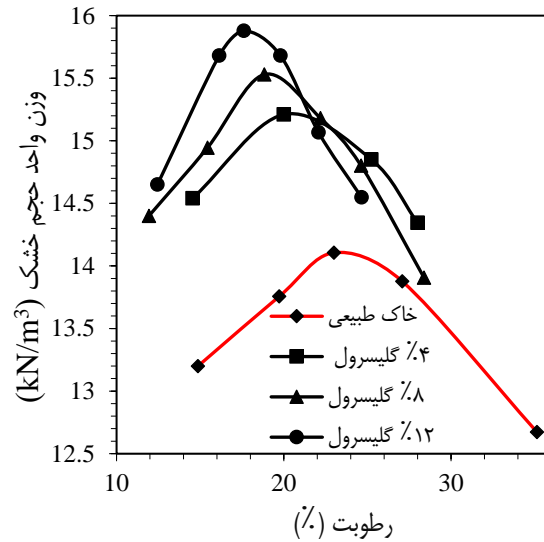


شکل ۲- نتایج تغییرات حدود اتربرگ خاک طبیعی و خاک آلوده در درصدهای مختلف محلول گلیسرول و MgO.

الف) تغییرات حد روانی و ب) تغییرات حد خمیری

منحنی‌های تراکمی استاندارد خاک طبیعی و خاک آلوده به محلول گلیسرول در درصدهای ۴، ۸ و ۱۲٪ در شکل (۳) نشان داده شده است. بر اساس این شکل با افزودن محلول گلیسرول به خاک، منحنی تراکمی به سمت چپ و بالای منحنی خاک طبیعی حرکت می‌کند. به عبارت دیگر افزودن محلول گلیسرول به خاک، سبب افزایش وزن واحد حجم خشک بیشینه و

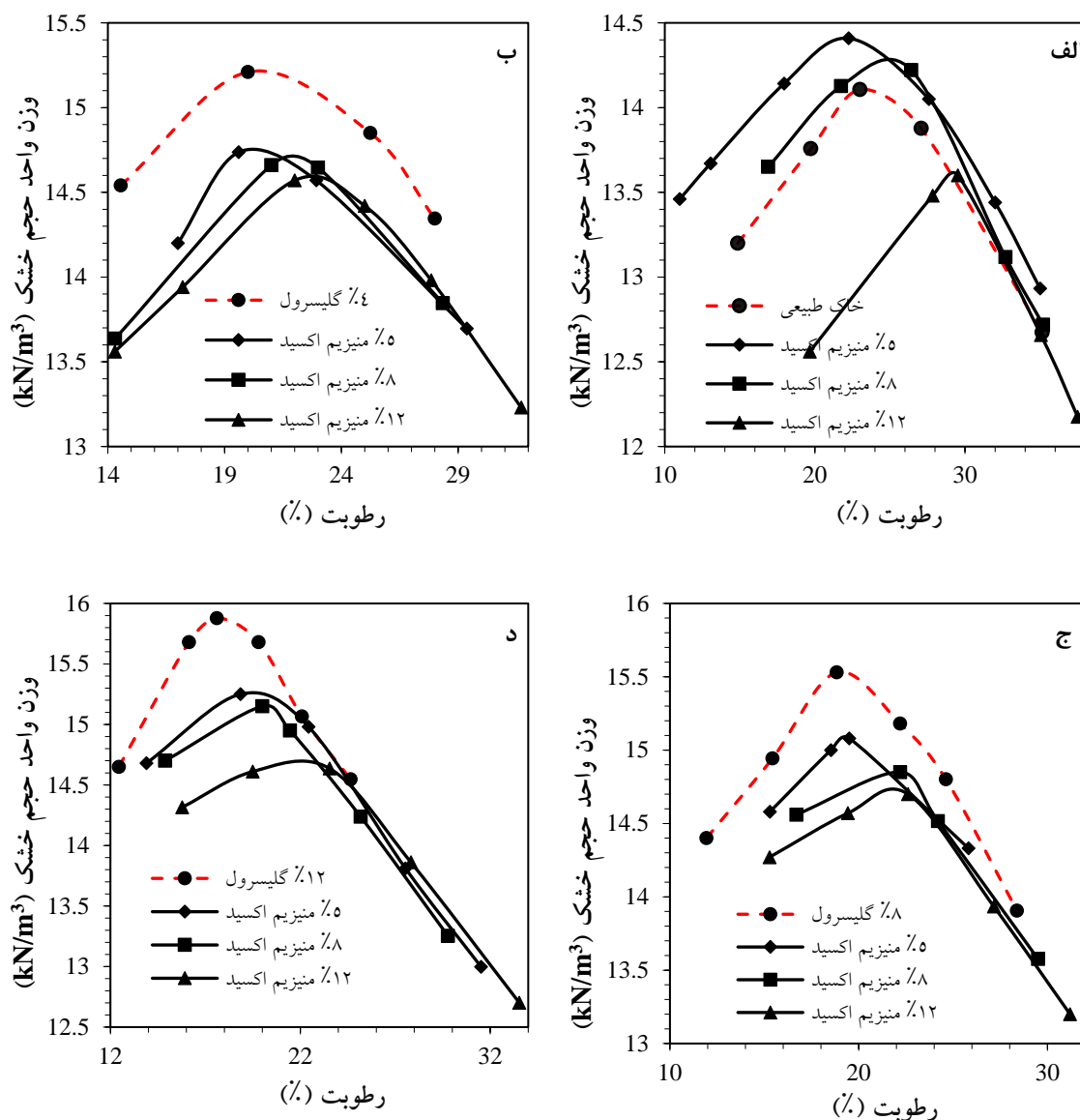
کاهش درصد رطوبت بهینه شده است. درصد رطوبت بهینه و وزن واحد حجم خشک بیشینه خاک طبیعی به ترتیب برابر ۲۳٪ و  $14/1 \text{ (kN/m}^3\text{)}$  بوده که این مقادیر به ازای افزودن ۴٪ محلول گلیسرول برابر ۲۰٪ و  $15/21 \text{ (kN/m}^3\text{)}$ ، ۸٪ محلول گلیسرول برابر ۱۸/۸۳٪ و  $15/53 \text{ (kN/m}^3\text{)}$  و ۱۲٪ محلول گلیسرول برابر ۱۷/۶٪ و  $15/87 \text{ (kN/m}^3\text{)}$  شده است.



شکل ۳- منحنی تراکم استاندارد خاک طبیعی و خاک آلوده به محلول گلیسرول در درصدهای متفاوت

نتایج آزمایش تراکم خاک طبیعی اختلاط یافته با درصدهای متفاوت MgO و خاک آلوده حاوی درصدهای مختلف MgO در شکل (۴) نشان داده شده است. بر اساس شکل (۴-الف) با افزودن درصدهای مختلف MgO به خاک طبیعی، درصد رطوبت بهینه روندی افزایشی داشته به گونه‌ای که به ازای افزودن ۵، ۸ و ۱۲٪ MgO به ترتیب برابر ۲۳، ۲۵/۵ و ۲۹/۲۵٪ شده است. وزن واحد حجم خشک بیشینه خاک نیز به ازای ۵٪ MgO برابر  $14/4 \text{ (kN/m}^3\text{)}$  گردید که با افزایش مقدار MgO، روند کاهشی پیدا می‌کند و با اضافه کردن ۸ و ۱۲٪ MgO به ترتیب برابر  $14/25 \text{ (kN/m}^3\text{)}$  و  $13/59 \text{ (kN/m}^3\text{)}$  می‌گردد. با توجه به شکل (۴-ب، ج و د) به طور کلی با اضافه کردن MgO به خاک آلوده حاوی ۴، ۸ و ۱۲٪ محلول گلیسرول، رطوبت بهینه روندی افزایشی و وزن واحد حجم خشک بیشینه روندی کاهشی داشته است. به عنوان مثال بر اساس شکل (۴-د)، رطوبت بهینه خاک آلوده به ۱۲٪ محلول گلیسرول به ازای افزودن ۵، ۸ و ۱۲٪ MgO به ترتیب برابر ۱۹/۲۵، ۲۰/۵ و ۲۳٪ و وزن واحد حجم خشک بیشینه به ترتیب برابر ۱۵/۲۵، ۱۵/۱۵ و  $14/7 \text{ (kN/m}^3\text{)}$  شده است.





شکل ۴- منحنی تراکم استاندارد خاک طبیعی اختلاط یافته با درصد‌های متفاوت  $MgO$  و خاک آلوده حاوی درصد‌های مختلف  $MgO$

نتایج آزمایش‌های مقاومتی انجام شده روی نمونه‌های مختلف به صورت تنش- کرنش محاسبه و منحنی آنها ترسیم گردید. مقادیر مقاومت نهایی و کرنش مربوط به مقاومت نهایی از منحنی‌های تنش-کرنش استخراج گردید. همچنین  $E_{50}$  (ضریب الاستیک مربوط به ۵۰٪ از مقاومت نهایی) نمونه‌ها نیز از منحنی‌های تنش-کرنش از روش و تری محاسبه گردید و تمامی نتایج مربوطه در جدول (۳) آورده شد. همان طور که در این جدول مشاهده می‌شود، مقاومت نهایی خاک طبیعی و کرنش مربوط به آن به ترتیب برابر  $488 kPa$  و ۳٪ می‌باشد. این مقادیر برای خاک آلوده به محلول‌های ۴، ۸ و ۱۲٪ برابر  $163$ ،  $234$  و  $117 kPa$  و ۳/۵٪ می‌باشد. این نتایج نشان می‌دهد که افزودن محلول گلیسرول به خاک سبب کاهش مقاومت و افزایش

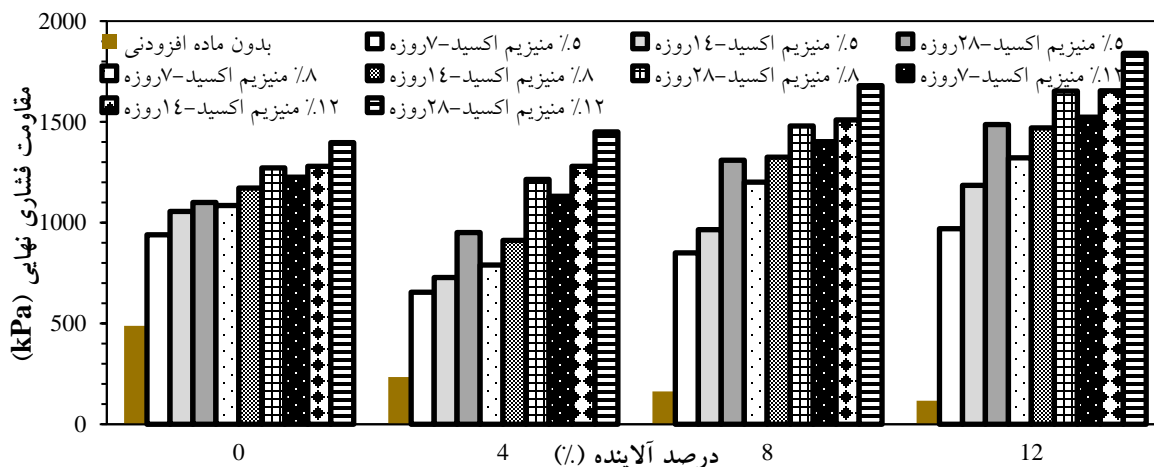
نرم‌شدگی<sup>۱۱</sup> نمونه‌ها در مقایسه با خاک طبیعی می‌شود. همچنین اطلاعات مندرج در این جدول نشان‌دهنده آنست که افزودن MgO به خاک موجب افزایش خاصیت شکنندگی در نمونه در مقایسه با خاک طبیعی می‌شود. همچنین مقایسه مقادیر E<sub>50</sub> با مقاومت نهایی نمونه‌ها نشان می‌دهد که افزایش مقاومت موجب افزایش E<sub>50</sub> می‌گردد و بالعکس. البته این امر در برخی از نمونه‌ها صادق نمی‌باشد که علت آن به شکل منحنی تنش- کرنش به‌دست‌آمده از آزمایش و پراکندگی در داده‌های ثبت شده مرتبط می‌باشد.

جدول ۳- نتایج مقاومت نهایی، کرنش در مقاومت نهایی و E<sub>50</sub> نمونه‌های مورد آزمایش

MgO (%)												زمان عمل‌آوری	آلاینده (%)
۱۲			۸			۵			۰				
E <sub>50</sub> (MPa)	ε (%)	q (kPa)	E <sub>50</sub> (MPa)	ε (%)	q (kPa)	E <sub>50</sub> (MPa)	ε (%)	q (kPa)	E <sub>50</sub> (MPa)	ε (%)	q (kPa)		
-	-	-	-	-	-	-	-	-	۳۳	۳	۴۸۸	۰	۰
۹۷/۳	۱/۸	۱۲۲۶	۶۲/۴	۱/۹	۱۰۸۵	۵۱/۵	۱/۶	۹۴۰	-	-	-	۷	
۸۲/۱	۱/۶	۱۲۸۰	۷۸/۱	۱/۶	۱۱۷۲	۶۲/۵	۱/۸	۱۰۵۶	-	-	-	۱۴	
۱۱۲/۶	۱/۶	۱۳۹۶	۹۴/۲	۱/۵	۱۲۷۲	۸۰/۹	۱/۶	۱۱۰۰	-	-	-	۲۸	
-	-	-	-	-	-	-	-	-	۱۷/۲	۵/۳	۲۳۴	۰	۴
۸۹/۸	۱/۴	۱۱۳۱	۴۶/۷	۱/۵	۷۹۰	۳۹/۹	۱/۶	۶۵۵	-	-	-	۷	
۱۹۳/۹	۱/۱	۱۲۸۰	۱۲۰	۱/۳	۹۱۲	۷۱/۶	۱/۴	۷۳۰	-	-	-	۱۴	
۹۶/۷	۱/۹	۱۴۵۰	۷۸/۴	۱/۸	۱۲۱۵	۶۰/۵	۱/۶	۹۵۰	-	-	-	۲۸	
-	-	-	-	-	-	-	-	-	۶/۷	۵/۳	۱۶۳	۰	۸
۱۴۵/۹	۱/۲	۱۴۰۱	۱۲۱/۲	۱/۳	۱۲۰۰	۶۸	۱/۶	۸۵۰	-	-	-	۷	
۱۶۹/۷	۱/۴	۱۵۱۰	۱۰۰/۴	۱/۶	۱۳۲۵	۷۷/۲	۱/۶	۹۶۵	-	-	-	۱۴	
۱۵۵/۶	۱/۹	۱۶۸۰	۱۰۲/۸	۱/۶	۱۴۸۰	۷۹/۹	۱/۸	۱۳۱۰	-	-	-	۲۸	
-	-	-	-	-	-	-	-	-	۵/۴	۵/۳	۱۱۷	۰	۱۲
۱۳۸/۵	۱/۵	۱۵۲۳	۱۰۰/۱	۱/۵	۱۳۲۱	۶۵/۵	۱/۷	۹۷۰	-	-	-	۷	
۱۱۸/۱	۱/۵	۱۶۵۴	۷۹/۹	۲	۱۴۷۰	۵۷	۱/۸	۱۱۸۵	-	-	-	۱۴	
۲۴۲/۱	۱	۱۸۴۰	۱۶۲	۱/۲	۱۶۵۳	۱۲۱/۹	۱/۲	۱۴۸۷	-	-	-	۲۸	

<sup>11</sup> Softening

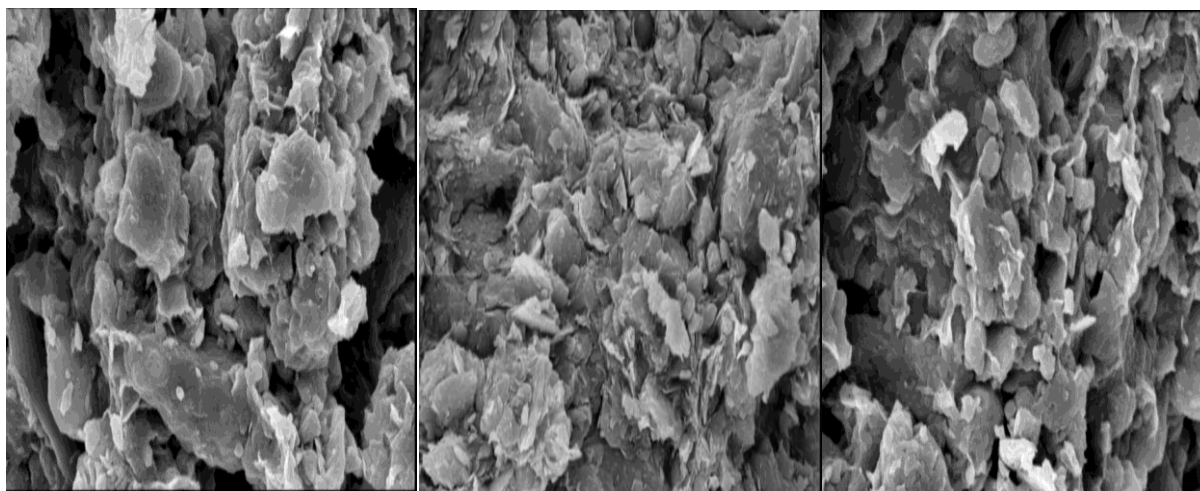
برای مقایسه بهتر نتایج آزمایش‌های مقاومتی، نتایج مقاومت فشاری نهایی تمامی نمونه‌های مورد آزمایش به صورت نمودار ستونی در شکل (۵) آورده شده است. همان طور که در این شکل مشاهده می‌گردد، مقاومت فشاری نهایی خاک طبیعی برابر  $488 \text{ kPa}$  می‌باشد که با افزودن گلیسرول به خاک، مقاومت کاهش می‌یابد. به گونه‌ای که مقاومت فشاری نهایی خاک آلوده به  $4\%$  محلول گلیسرول، برابر  $234 \text{ kPa}$  می‌باشد که نشان‌دهنده کاهش  $52\%$  مقاومت فشاری است. همچنین مقاومت فشاری نهایی خاک آلوده به  $8\%$  و  $12\%$  محلول گلیسرول کاهشی برابر  $66/6$  و  $76\%$  در مقایسه با مقاومت خاک طبیعی داشته است. با توجه به شکل (۵) مشاهده می‌شود که مقاومت فشاری نهایی نمونه‌های بهسازی شده خاک طبیعی و خاک آلوده، با افزایش درصد  $\text{MgO}$  و زمان عمل‌آوری افزایش می‌یابد. به عنوان مثال مقاومت فشاری نهایی نمونه‌های خاک طبیعی اختلاط یافته با  $5\%$ ،  $8\%$  و  $12\%$   $\text{MgO}$  در زمان عمل‌آوری ۷ روز به ترتیب برابر  $940$ ،  $1085$  و  $1226 \text{ kPa}$  گردیده است که این مقادیر با گذشت زمان افزایش پیدا کرده و به‌زای زمان عمل‌آوری ۲۸ روز، به ترتیب برابر  $1100$ ،  $1272$  و  $1396 \text{ kPa}$  شده است. این روند در مورد نمونه‌های خاک آلوده بهسازی شده نیز صادق می‌باشد. به عنوان مثال مقاومت فشاری نهایی نمونه خاک آلوده به  $4\%$  محلول گلیسرول،  $234 \text{ kPa}$  بوده که پس از بهسازی با  $5\%$   $\text{MgO}$  در زمان‌های عمل‌آوری ۷، ۱۴ و ۲۸ روز به ترتیب به مقادیری برابر  $655$ ،  $730$  و  $950 \text{ kPa}$  می‌رسد. با افزایش درصد  $\text{MgO}$  به  $12\%$ ، مقاومت فشاری نهایی نمونه‌ها در زمان‌های عمل‌آوری ۷، ۱۴ و ۲۸ روز به ترتیب برابر  $1131$ ،  $1280$  و  $1450 \text{ kPa}$  می‌شود. این روند تغییرات برای نمونه‌های آلوده به  $8\%$  و  $12\%$  محلول گلیسرول نیز مشاهده گردید. همچنین مقایسه نتایج نشان می‌دهد که مقاومت فشاری نهایی نمونه‌های آلوده به  $12\%$  گلیسرول که با درصد‌های مختلف  $\text{MgO}$  بهسازی شده‌اند، همواره بیشتر از نمونه‌های خاک طبیعی بهسازی شده می‌باشد. این امر در مورد نمونه‌های آلوده به  $8\%$  گلیسرول که با مقادیر  $8\%$  و  $12\%$   $\text{MgO}$  اختلاط یافته‌اند نیز ملاحظه می‌گردد، لیکن این تغییرات برای نمونه‌های حاوی  $4\%$  گلیسرول بهسازی شده مشاهده نمی‌شود.



شکل ۵- نتایج آزمایش مقاومت فشاری نهایی تمامی نمونه‌های مورد آزمایش

در شکل (۶) نتایج میکروساختار نمونه‌های خاک طبیعی، خاک آلوده به محلول گلیسرول و نمونه‌های بهسازی شده توسط  $\text{MgO}$  قابل مشاهده می‌باشد. همان طور که در شکل (۶-الف) مشاهده می‌گردد، ذرات خاک در نمونه خاک طبیعی، بدون هیچ گونه اتصالی در کنار یکدیگر قرار گرفته‌اند و فضاهای خالی فراوانی بین ذرات وجود دارد. با افزودن محلول گلیسرول به خاک (شکل ۶-ب و ج) مشاهده می‌شود که ساختار خاک در مقایسه با نمونه خاک طبیعی، فولکوله‌تر و درشت‌دانه‌تر شده

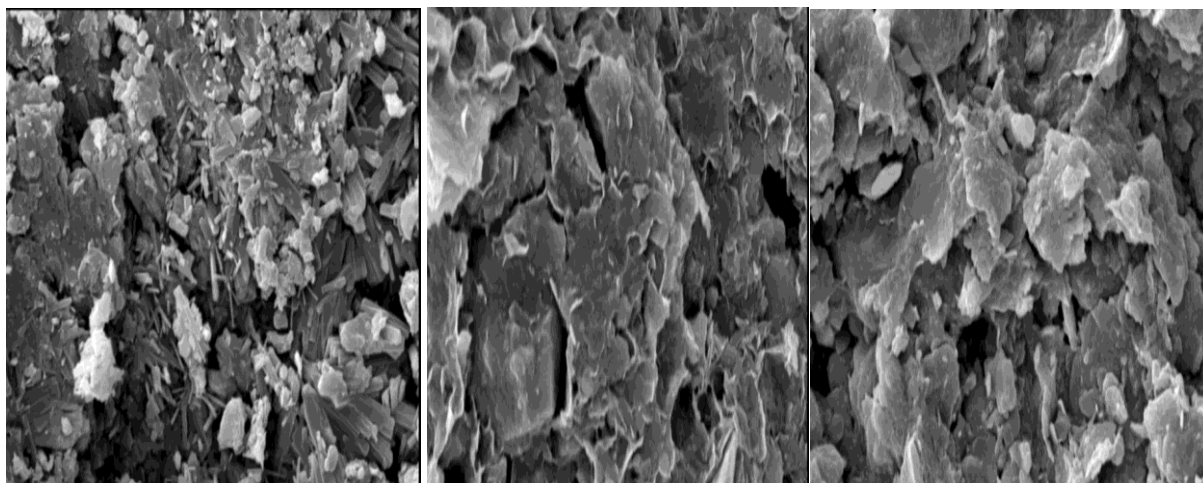
است. با بهسازی خاک طبیعی با ۱۲٪ MgO و زمان عمل‌آوری ۱۴ روز (شکل ۶-د)، موادی در اثر کربناسیون MgO به محیط اضافه شده که سبب پیوند ذرات خاک به یکدیگر و پر شدن فضاهای خالی بین ذرات گردیده است. همچنین با توجه به شکل (۶-ه و خ) که نشان‌دهنده خاک آلوده حاوی ۴٪ و ۱۲٪ محلول گلیسرول و بهسازی شده با ۱۲٪ MgO در مدت زمان ۱۴ روز است، ملاحظه می‌گردد که ماده‌ای موجب پر شدن فضاهای خالی بین ذرات و اتصال آنها به یکدیگر شده است.



ج

ب

الف



خ

ه

د

شکل ۶- نتایج SEM با بزرگ‌نمایی ۳۰۰۰ برابر، الف) خاک طبیعی، ب) خاک آلوده به ۴٪ محلول گلیسرول، ج) خاک آلوده به ۱۲٪ محلول گلیسرول، د) خاک طبیعی + ۱۲٪ MgO، ه) خاک آلوده به ۴٪ محلول گلیسرول + ۱۲٪ MgO (۱۴ روزه)، خ) خاک آلوده به ۱۲٪ محلول گلیسرول + ۱۲٪ MgO (۱۴ روزه)

## بحث

به منظور تجزیه و تحلیل نتایج این پژوهش ابتدا می‌بایست به بررسی ساختار خاک‌های رسی پرداخت. سطح ذرات رس دارای بار منفی بوده که کاتیون‌های قابل تبادل برای خثی نمودن بار منفی و ایجاد تعادل الکتریکی، جذب این بارهای منفی می‌شود. در شرایط خشک بودن خاک رسی، کاتیون‌ها با اتصال بسیار محکم و پایدار به سطوح ذرات رس متصل می‌باشند که با افزودن آب به خاک، کاتیون‌ها و آنیون‌ها در محلول آب شناور می‌گردند به طوری که غلظت کاتیون‌ها در مجاورت سطح رس زیاد بوده و با افزایش فاصله از ذرات رس، این غلظت کاهش می‌یابد. بنابراین یک لایه پخشیدگی که متشکل از آب و ذرات باردار می‌باشد در اطراف ذرات رس تشکیل می‌گردد که تحت عنوان لایه پخشیدگی مضاعف (DDL) نامیده می‌شود. این لایه با ذرات مجاور خود در عمل متقابل با یکدیگر قرار دارد که این عمل متقابل تحت تاثیر نیروهای جاذبه و یا دافعه صورت می‌پذیرد. در شرایط غالب بودن نیروهای جاذبه، ساختمان فولکوله در خاک ایجاد می‌شود و در غیر این صورت ساختمان خاک پراکنده خواهد بود. همچنین به طور کلی می‌توان بیان نمود که کاهش ضخامت لایه پخشیدگی مضاعف سبب تشکیل ساختمان فولکوله و افزایش ضخامت این لایه سبب تشکیل ساختمان پراکنده می‌شود. ضخامت لایه پخشیدگی مضاعف تحت تاثیر عواملی مانند ثابت دی‌الکتریک، دما، غلظت الکترولیت و ظرفیت کاتیون می‌باشد.

نتایج حدود اتربرگ (شکل (۲)) نشان داد که افزودن محلول گلیسرول به خاک سبب کاهش حدود اتربرگ در مقایسه با خاک طبیعی می‌شود که این کاهش تابعی از درصد محلول گلیسرول استفاده شده است. علت این امر را می‌توان کمتر بودن ثابت دی‌الکتریک محلول گلیسرول در مقایسه با آب دانست. ثابت دی‌الکتریک آب و گلیسرول معادل ۸۰ و ۴۲/۵ می‌باشد. کاهش ثابت دی‌الکتریک محلول گلیسرول نسبت به آب، سبب کاهش ضخامت لایه مضاعف و تشکیل ذرات درشت‌دانه‌تر و ساختمان فولکوله می‌شود. نتایج عکس‌برداری SEM خاک طبیعی و خاک آلوده به محلول گلیسرول (شکل ۶-الف، ب و ج) این امر را به خوبی تائید می‌کند. با تشکیل ساختمان فولکوله و پیدایش ذرات درشت‌تر، سطح ویژه ذرات تشکیل شده در خاک آلوده نسبت به خاک طبیعی کاهش می‌یابد به گونه‌ای که موجب کاهش پتانسیل جذب آب به وسیله ذرات و در نتیجه کاهش حدود اتربرگ در مقایسه با خاک طبیعی می‌شود. این نتایج با نتایج ارائه شده توسط استبرق و همکاران [۱۰] مطابقت دارد. همچنین شکل (۲) نشان می‌دهد که افزودن MgO به خاک، سبب افزایش حدود اتربرگ می‌شود. دلیل این امر را می‌توان با سطح ویژه بالای ذرات MgO در مقایسه با خاک، توجیه کرد. سطح ویژه MgO برابر با  $300 \text{ m}^2/\text{g}$  می‌باشد که وجود آن باعث افزایش پتانسیل جذب آب می‌شود که این امر خود منجر به افزایش حدود اتربرگ می‌گردد. همچنین با افزایش درصد MgO، حدود اتربرگ نیز افزایش می‌یابد. نتایج به دست آمده با نتایج حاصله محققینی مانند لیسکا و همکاران [۵] و استبرق و همکاران [۱۱] مطابقت دارد.

در شکل (۳) مشاهده می‌شود که اضافه کردن درصد‌های مختلف محلول گلیسرول به خاک، سبب افزایش وزن واحد حجم خشک بیشینه و کاهش درصد رطوبت بهینه در مقایسه با خاک طبیعی می‌گردد. همان طور که بیان گردید، کاهش ثابت دی‌الکتریک مایع منفذی بین ذرات سبب تشکیل ساختمان فولکوله و ذرات درشت‌تر نسبت به خاک طبیعی می‌شود که این

امر باعث افزایش وزن واحد حجم خشک بیشینه و کاهش درصد رطوبت بهینه می‌شود. با افزایش درصد محلول گلیسرول، میزان دانه‌ای شدن ذرات خاک افزایش یافته و تغییرات بیشتری در مقادیر پارامترهای تراکمی مشاهده می‌گردد. نتایج به-دست‌آمده با نتایج پژوهش استبرق و همکاران [۱۰] و راتناویرا و میگودا [۱۳] هماهنگ می‌باشد. شکل (۴-الف) نشان می‌دهد که مقادیر پارامترهای تراکمی (وزن واحد حجم خشک بیشینه و رطوبت بهینه) برای خاک اختلاط یافته با ۵ و ۸٪ MgO بیشتر از خاک طبیعی می‌باشد. همچنین نمونه اختلاط یافته با ۱۲٪ MgO، دارای رطوبت بهینه بیشتر و وزن واحد حجم خشک بیشینه کمتری در مقایسه با خاک طبیعی می‌باشد. مقایسه نمونه‌های خاک طبیعی اختلاط یافته با MgO هم نشان‌دهنده کاهش وزن واحد حجم خشک بیشینه و افزایش درصد رطوبت بهینه با افزایش درصد ماده افزودنی MgO می‌باشد. این نتایج را می‌توان به این‌گونه توجیه کرد که MgO دارای سطح ویژه نسبتاً بالایی نسبت به خاک مورد استفاده می‌باشد، به‌گونه‌ای که قدرت جذب آب زیادی را دارا می‌باشد. با افزودن ۵٪ MgO به خاک، تولید یون‌های منیزیم با توجه به مایع منفذی صورت می‌پذیرد که آنها با کانی‌های خاک تبادل یونی انجام می‌دهند و موجب چسبیدن ذرات خاک به یکدیگر و تشکیل ذرات درشت‌تر می‌شوند. همچنین ساختار خاک دارای درجه فولکوله بالایی می‌گردد. ذرات درشت تشکیل شده دارای سطح ویژه کمی می‌باشند، در نتیجه قدرت جذب آب پایینی را دارند. از طرفی با اعمال انرژی ثابت تراکمی، فضاهای بین ذرات کاهش می‌یابد و در نتیجه وزن واحد حجم خشک بیشینه افزایش می‌یابد. با افزودن ۸٪ MgO به خاک، درصدی از MgO بر اساس ظرفیت تبادل کاتیونی با کانی‌های خاک تبادل حاصل می‌نماید و مابقی آن که بیشتر از ظرفیت تبادل کاتیونی خاک است، در فضاهای بین ذرات قرار می‌گیرد که در جذب آب موثر می‌باشد. از طرفی بین ذرات بار الکتریکی ایجاد می‌کند که این عوامل سبب افزایش رطوبت بهینه و کاهش وزن واحد حجم خشک بیشینه می‌شود. زیرا آب جذب شده اطراف ذرات و بار الکتریکی بین آنها در برابر انرژی تراکمی مقاومت می‌نماید. این روند با افزایش درصد MgO متناسب می‌باشد زیرا همان‌طور که در شکل (۴-الف) مشاهده می‌شود، تغییر مقادیر پارامترهای تراکمی خاک اختلاط یافته با ۱۲٪ MgO در مقایسه با خاک اختلاط یافته با ۸٪ MgO بنا به دلایل ذکر شده بیشتر می‌باشد. این نتایج با نتایج گزارش شده توسط محققین دیگر مانند استبرق و همکاران [۱۱] و ونديپر و همکاران [۶]، [۱۴] و [۱۵] مطابقت دارد. افزودن MgO به خاک آلوده نیز موجب کاهش وزن واحد حجم خشک بیشینه و افزایش درصد رطوبت بهینه می‌گردد که دلیل آن را می‌توان ناشی از سطح ویژه زیاد MgO و همچنین ایجاد فضاهای خالی فراوان به‌وسیله آن در بین ذرات دانست.

نتایج مندرج در جدول (۳) نشان می‌دهد که افزودن محلول گلیسرول به خاک، سبب کاهش مقاومت می‌شود که این کاهش تابعی از درصد آلاینده استفاده شده می‌باشد. همان‌طور که بیان شد، افزودن محلول گلیسرول به خاک سبب فولکوله‌تر شدن ذرات خاک می‌گردد. بنابراین انتظار می‌رود که مقاومت نمونه‌های آلوده بیشتر از مقاومت خاک طبیعی به‌دست آید لیکن نتایج، خلاف این موضوع را نشان می‌دهد. دلیل این امر را می‌توان در وجود اختلاف لزوجت گلیسرول و آب بیان کرد. لزوجت گلیسرول (۱/۵ میلی‌پاسکال ثانیه) بیشتر از آب (۰/۹ میلی‌پاسکال ثانیه) است. بنابراین زمانی که نمونه آلوده تحت تاثیر بارگذاری قرار می‌گیرد، جابه‌جایی ذرات نسبت به یکدیگر در مقایسه با نمونه خاک طبیعی بیشتر بوده که این امر

سبب کاهش مقاومت نمونه آلوده نسبت به خاک طبیعی می‌شود. نتایج به‌دست‌آمده با نتایج ارائه شده به‌وسیله استبرق و همکاران [۱۰] و راتناویرا و میگودا [۱۳] نیز قابل تطبیق است.

مقادیر مقاومت نمونه‌های خاک طبیعی و خاک آلوده بهسازی شده با درصد‌های مختلف MgO (شکل ۵)) نشان داد که با افزایش درصد MgO و زمان عمل‌آوری، مقاومت نمونه‌ها افزایش می‌یابد. به‌عبارت دیگر مقاومت ایجاد شده در نمونه‌ها تابعی از درصد MgO اضافه شده و زمان عمل‌آوری می‌باشد. با افزودن MgO به خاک، واکنش‌هایی در خاک رخ می‌دهد که شبیه واکنش‌های سیمان می‌باشد [۱۱]. در مراحل اولیه با تجزیه MgO به  $Mg^{2+}$ ، بین این کاتیون و کاتیون‌های موجود در کانی‌های رسی تبادل یونی صورت می‌پذیرد که ممکن است باعث ایجاد تغییراتی در لایه مضاعف گردد. سپس مراحل هیدراسیون MgO آغاز می‌گردد که این عمل با جذب آب بین ذرات خاک انجام می‌شود. در طی این فرآیند، MgO به منیزیم‌هیدروکسید تبدیل می‌گردد که تحت عنوان بروسیت<sup>۱۲</sup> نامیده می‌شود. ماده تولید شده (بروسیت) با آب و CO<sub>2</sub> جذب شده از محیط، واکنش نشان داده که این امر منجر به تولید محصولاتی همچون نسکوهنیت<sup>۱۳</sup>، هیدرومگنیزیت<sup>۱۴</sup> و دپینگیت<sup>۱۵</sup> می‌گردد. تولید مواد مذکور موجب افزایش مقاومت نمونه بهسازی شده با MgO می‌شود. به هر حال طی عمل کربناسیون، منیزیم‌کربنات تولید می‌شود که منبع اصلی MgO محسوب می‌شود. آنلور و التبا [۱۶ و ۱۷] بر اساس تحقیقات خود بیان نمودند که مقاومت نسکوهنیت نسبت به سایر مواد بیشتر است. به‌عبارت دیگر این محصول در کسب مقاومت نمونه بهسازی شده، نقش مهمی ایفا می‌کند. بنابراین مراحل کربناسیون که منجر به تولید مواد پیش‌گفته می‌گردد، با جذب آب و CO<sub>2</sub> به مرور زمان انجام می‌گیرد. بدیهی است که عامل زمان در کسب مقاومت بسیار مهم است. تصاویر SEM وجود مواد جدیدی که در اثر کربناسیون MgO در بین ذرات خاک قرار گرفته است را در نمونه خاک طبیعی حاوی ۱۲٪ MgO (شکل ۶-د) و نمونه‌های خاک آلوده بهسازی شده با ۱۲٪ MgO (شکل ۶-ه و خ) تأیید می‌کند. مقایسه نتایج مقاومت فشاری نهایی نمونه‌های بهسازی شده (شکل ۵)) نشان داد که نمونه‌های آلوده به درصد‌های بالای محلول گلیسرول هنگامی که با MgO بهسازی می‌شوند، دارای مقاومت بیشتری در مقایسه با نمونه‌های خاک طبیعی بهسازی شده می‌باشند. این امر ممکن است به‌علت تشکیل نمکی آلی-معدنی (علاوه بر موادی که در اثر کربناسیون MgO به خاک اضافه می‌شود)، در نمونه‌های حاوی درصد‌های بالای محلول گلیسرول باشد. همان‌طور که گفته شد، افزودن MgO به خاک موجب تولید منیزیم‌هیدروکسید (Mg(OH)<sub>2</sub>) می‌گردد که این عمل موجب قلیایی شدن محیط می‌شود. لی و یی<sup>۱۶</sup> [۱۸] بیان کردند که pH خاک در حالت مذکور به ۹-۱۰/۵ تغییر می‌یابد. تغییر pH و قلیابیت محیط، منجر به تولید یون‌های  $Mg^{2+}$  و  $OH^{-}$  می‌شود. در نتیجه افزایش یون  $OH^{-}$  تولید شده در محیط، یون‌های  $H^{+}$  از زنجیره گلیسرول جدا شده و منجر به تولید یک نمک آلی-

<sup>12</sup> Brucite

<sup>13</sup> Nesquehonite

<sup>14</sup> Hydromagnesite

<sup>15</sup> Dypingite

<sup>16</sup> Li and Yi

معذنی در محیط می‌شود. این نمک‌ها در بین ذرات رسوب نموده و مانند یک ماده چسباننده باعث اتصال ذرات به یکدیگر و تشکیل یک جسم جامد یکپارچه می‌گردد که افزایش مقاومت را موجب می‌شود.

### نتیجه‌گیری

۱. اضافه کردن محلول گلیسرول به خاک رسی سبب تغییر ساختار خاک و فولکوله‌تر شدن ذرات آن می‌شود که این امر سبب کاهش حدود اتربرگ، درصد رطوبت بهینه و مقاومت تک‌محوری و همچنین افزایش وزن واحد حجم خشک بیشینه خاک می‌شود. این تغییرات تابعی از درصد محلول گلیسرول به کار رفته می‌باشد، به گونه‌ای که هرچه درصد محلول گلیسرول بیشتر باشد، تغییرات این پارامترها بیشتر است.
۲. اضافه کردن  $MgO$  به خاک طبیعی و آلوده به گلیسرول سبب افزایش حدود اتربرگ می‌شود.
۳. افزودن درصد‌های مختلف وزنی  $MgO$  به خاک معمولی و آلوده به گلیسرول، موجب افزایش مقاومت آنها می‌شود که این افزایش به درصد  $MgO$  مصرفی و زمان عمل‌آوری بستگی دارد.

### منابع

- [1] H. Y. Fang, *Introduction to Environmental Geotechnology*, Second Edition, CRC Press, 2016.
- [2] A. Sezer, G. Inan, H. R. Yilmaz, and K. Ramyar, "Utilization of a very high lime fly ash for improvement of Izmir clay," *Build. Environ.*, vol. 41, no. 2, pp. 150–155, 2006.
- [3] C. Unluer and A. Al-Tabbaa, "Impact of hydrated magnesium carbonate additives on the carbonation of reactive  $MgO$  cements," *Cem. Concr. Res.*, vol. 54, pp. 87–97, 2013.
- [4] A. J. W. Harrison, "Reactive magnesium oxide cements," 2005.
- [5] M. Liska, L. J. Vandeperre, and A. Al-Tabbaa, "Influence of carbonation on the properties of reactive magnesia cement-based pressed masonry units," *Adv. Cem. Res.*, vol. 20, no. 2, pp. 53–64, 2008.
- [6] L. J. Vandeperre, M. Liska, and A. Al-Tabbaa, "Mixtures of pulverized fuel ash, Portland cement and Magnesium oxide: strength evolution and hydration products," *6th International Conference on the Science and Engineering of Recycling for Environmental Protection*, 2006.
- [7] N. Meegoda, and P. Ratnaweera, "Treatment of Oil-Contaminated Soils for Identification and Classification," *Geotech. Test. J.*, vol. 18, no. 1, p. 41, 1995.



- [8] A. J. Puppala, E. Wattanasanticharoen, and K. Punthutaecha, "Experimental evaluations of stabilisation methods for sulphate-rich expansive soils," *Proc. Inst. Civ. Eng. - Gr. Improv.*, vol. 7, no. 1, pp. 25–35, 2003.
- [9] S. H. Chew, A. H. M. Kamruzzaman, and F. H. Lee, "Physicochemical and Engineering Behavior of Cement Treated Clays," *J. Geotech. Geoenvironmental Eng.*, vol. 130, no. 7, pp. 696–706, 2004.
- [10] A. R. Estabragh, M. Khatibi, and A. A. Javadi, "Effect of Cement on Treatment of a Clay Soil Contaminated with Glycerol," *J. Mater. Civ. Eng.*, vol. 28, no. 4, p. 04015157, 2016.
- [11] A. R. Estabragh, H. Khajepour, A. A. Javadi, and M. Amini, "Effect of forced carbonation on the behaviour of a magnesia-stabilised clay soil," *Int. J. Pavement Eng.*, 2020.
- [12] A. Kumar, B. S. Walia, and A. Bajaj, "Influence of Fly Ash, Lime, and Polyester Fibers on Compaction and Strength Properties of Expansive Soil," *J. Mater. Civ. Eng.*, vol. 19, no. 3, pp. 242–248, 2007.
- [13] P. Ratnaweera and J. Meegoda, "Shear Strength and Stress-Strain behavior of Contaminated Soils," *Geotech. Test. J.*, vol. 29, no. 2, 2006.
- [14] L. J. Vandeperre, M. Liska, and A. Al-Tabbaa, "Microstructures of reactive magnesia cement blends," *Cem. Concr. Compos.*, vol. 30, no. 8, pp. 706–714, 2008.
- [15] L. J. Vandeperre, M. Liska, and A. Al-Tabbaa, "Hydration and Mechanical Properties of Magnesia, Pulverized Fuel Ash, and Portland Cement Blends," *J. Mater. Civ. Eng.*, vol. 20, no. 5, pp. 375–383, 2008.
- [16] C. Unluer and A. Al-Tabbaa, "Effect of Aggregate Size Distribution on the Carbonation of Reactive Magnesia Based Porous Blocks," *8th Int. Conf. Concr. Low Carbon Era*, 2012.
- [17] C. Unluer and A. Al-Tabbaa, "Green Construction with Carbonating Reactive Magnesia Blocks: Effect of Cement and Water Contents," *2nd Int. Conf.on Futur. Concr.*, 2011.
- [18] W. Li and Y. Yi, "Stabilization/solidification of lead- and zinc-contaminated soils using MgO and CO<sub>2</sub>," *J. CO<sub>2</sub> Util.*, vol. 33, pp. 215–221, 2019.